

Un problème de couche limite pour Euler-Poisson

Marie-Hélène Vignal

IMT: Institut de Mathématiques de Toulouse

(à paraître dans SIAM Applied Mathematics)

1^{ère} solution : utiliser un modèle asymptotique

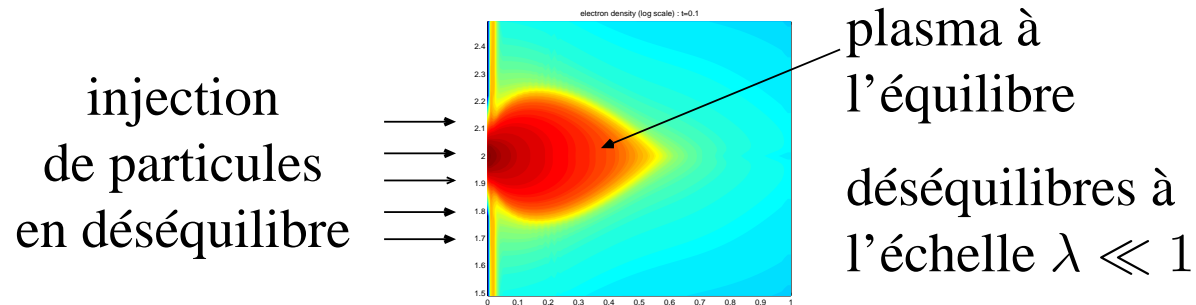
$$M_0 = \lim_{\lambda \rightarrow 0} M_\lambda. \Rightarrow \text{Maillage indépendant de } \lambda$$

- ➡ Conditions aux **Limites préparées au régime asymptotique**
- ➡ Modèle **valide** seulement dans les régions où $\lambda \ll 1$
- ➡ On doit utiliser M_λ là où $\lambda = O(1)$.
 - Localisation de l'interface.
 - Reconnection de M_λ et M_0 .
 - Interface mobile : pb. numérique difficile en 2D ou 3D.

2^{ème} solution : utiliser un schéma Asympt. Préservant

- ⇒ Utiliser M_λ partout.
- ⇒ Le discrétiser avec un schéma préservant l'asymptotique $\lambda \rightarrow 0$
 - ⇒ **Maillage indépendant de λ** : Stabilité asympt.,
 - ⇒ On obtient une approx. de la solution de M_0 quand $\lambda \rightarrow 0$:
Consistance asymptotique
- ⇒ Si conditions aux limites mal préparées \Rightarrow couche limite
Maillage redevient dépendant de λ

Expansion d'une bulle de plasma entre deux électrodes



faible masse des électrons + pression \Rightarrow accélération des électrons
charge d'espace (équilibre électrique) \Rightarrow décélération des électrons



Conséquence : Oscillations à l'entrée du domaine

Zone de transition entre le plasma en déséquilibre injecté et le plasma interne à l'équilibre \Rightarrow **Couche limite de taille λ**

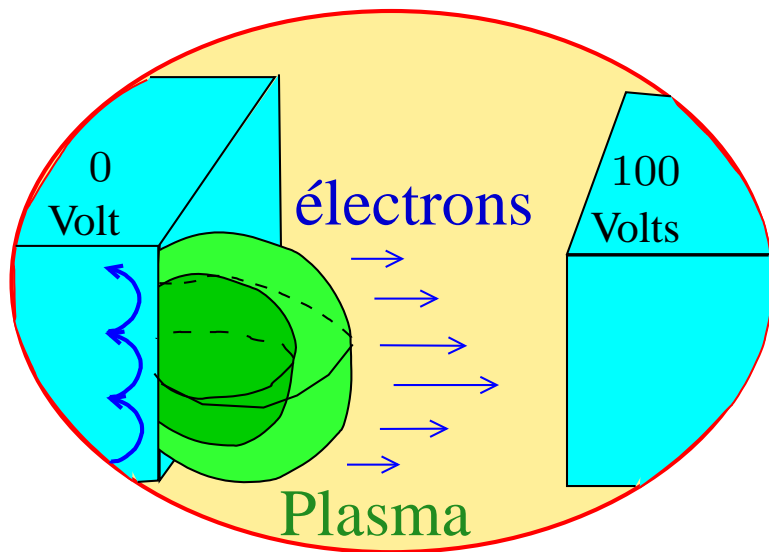
Difficultés :

- Modèle asymptotique $M_0 = \lim_{\lambda \rightarrow 0} M_\lambda$
 - Conditions aux limites cohérentes avec M_0
 - Valeurs en sortie de couche limite
- Schémas classique ou asymptotiquement préservant pour M_λ
 - Stables ssi la couche limite est résolue,
 - Mailles de taille $\lambda \Rightarrow$ **contraintes sur le maillage**

1. Introduction
2. Applications physiques et nature de la limite étudiée
3. Le modèle d'Euler Poisson et sa limite quasi-neutre
4. Le problème de couche limite
 - 4.1. Conditions aux limites pour Euler-Poisson
 - 4.2. Etude de la couche limite
 - 4.3. Résultats numériques
5. Conclusion

-
1. Introduction
 2. Applications physiques et nature de la limite étudiée
 3. Le modèle d'Euler Poisson et sa limite quasi-neutre
 4. Le problème de couche limite
 - 4.1. Conditions aux limites pour Euler-Poisson
 - 4.2. Etude de la couche limite
 - 4.3. Résultats numériques
 5. Conclusion

➡ Expansion d'une bulle de plasma entre 2 électrodes

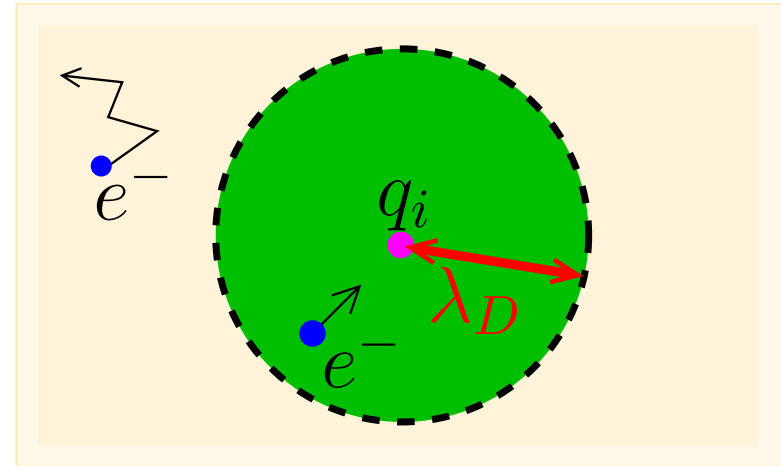


➡ Diodes à forts courants,
Contrats CEA/DAM.

➡ Phénomènes d'arcs sur les panneaux solaires de satellites
Contrats CNES-Onera Toulouse.

⇒ Longueur de Debye

$$\lambda_D = \left(\frac{\varepsilon_0 k_B T}{e^2 n} \right)^{1/2}$$



- ⇒ Electrons sont attirés par $q_i > 0$
- ⇒ Un nuage de charges < 0 autour de q_i
- ⇒ Ecrantage de q_i au delà de la distance λ_D

⇒ Déséquilibres de charges subsistent aux échelles $\leq \lambda_D$

►►► **Plasmas quasi-neutres** : (très fréquent)

$$\lambda = \frac{\lambda_D}{L} \ll 1$$

⇒

Déséquilibres de charges
négligeables

$$n_+(x, t) \approx n_-(x, t)$$

L=Longueur caractéristique du problème

►►► **Plasmas non quasi-neutres** : (gaines, faisceaux, ...)

$$\lambda \sim 1$$

⇒

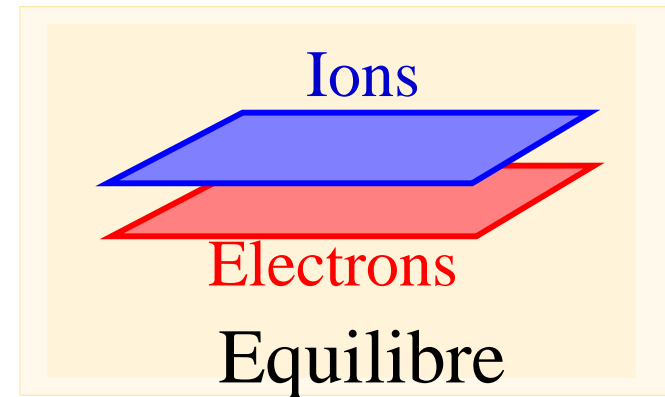
Déséquilibres de charges

d'ordre 1

$$n_+(x, t) \neq n_-(x, t)$$

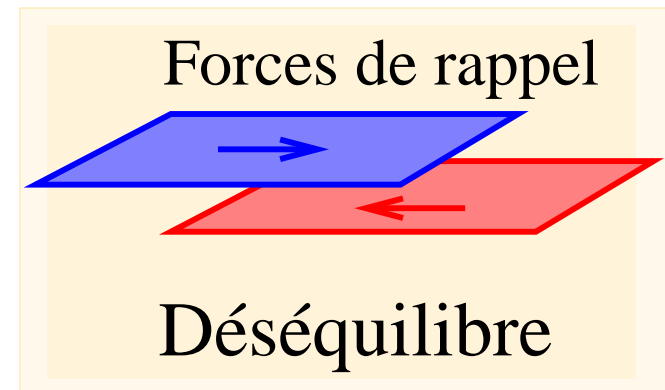
Plasma oscillations:

- Déséquilibres de charges
- Forces électriques de rappel
- Oscillations



Période plasma (électronique)

$$\tau_e = \left(\frac{\varepsilon_0 m_e}{e^2 n} \right)^{1/2}$$



⇒ **Dans le régime quasi-neutre : $\lambda \ll 1$**

$$\tau := \frac{\tau_e}{t_0} = \mathcal{O}(\lambda) \ll 1$$

t_0 = temps caractéristique du problème

⇒ Etat quasi-neutre = moyenne sur un très grand nombre de périodes plasma

-
1. Introduction
 2. Applications physiques et nature de la limite étudiée
 - 3. Le modèle d'Euler Poisson et sa limite quasi-neutre**
 4. Le problème de couche limite
 - 4.1. Conditions aux limites pour Euler-Poisson
 - 4.2. Etude de la couche limite
 - 4.3. Résultats numériques
 5. Conclusion

⇒ Euler pour les ions et les électrons, Poisson pour le potentiel

$$\begin{cases} \partial_t n_i + \partial_x q_i = 0, \\ \partial_t q_i + \partial_x \left[\frac{q_i^2}{n_i} + p_i \right] = -n_i \partial_x \phi, \end{cases} \quad \begin{cases} \partial_t n_e + \partial_x q_e = 0, \\ \partial_t q_e + \partial_x \left[\frac{q_e^2}{n_e} + \frac{p_e}{\varepsilon} \right] = \frac{n_e}{\varepsilon} \partial_x \phi \end{cases}$$

$$-\lambda^2 \partial_{xx}^2 \phi = n_i - n_e,$$

⇒ $n_{i,e}$ = densités, $q_{i,e}$ = qtés de mvt, $p_{i,e}$ = pressions,

ϕ = potentiel électrique, $\varepsilon = \frac{\text{masse } e^-}{\text{masse ions}}$.

⇒ $\lambda = \frac{\lambda_D}{L} = \frac{\text{long. Debye}}{\text{taille dispo.}}$, $\tau = \frac{\text{période plasma}}{\text{temps final}} = \frac{\tau_p}{t_0} = \sqrt{\varepsilon} \lambda$

⇒ $\lambda \rightarrow 0$ dans Euler-Poisson

$$\begin{cases} \partial_t n_i + \partial_x q_i = 0, \\ \partial_t q_i + \partial_x \left[\frac{q_i^2}{n_i} + p_i \right] = -n_i \partial_x \phi, \end{cases} \quad \begin{cases} \partial_t n_e + \partial_x q_e = 0, \\ \partial_t q_e + \partial_x \left[\frac{q_e^2}{n_e} + \frac{p_e}{\varepsilon} \right] = \frac{n_e}{\varepsilon} \partial_x \phi \end{cases}$$

$$n_i = n_e,$$

⇒ $\phi = \text{mult. de Lagrange de la contrainte de quasi-neutralité}$

$$n_i = n_e$$

⇒ Reformulation nécessaire

Reformulation de la limite

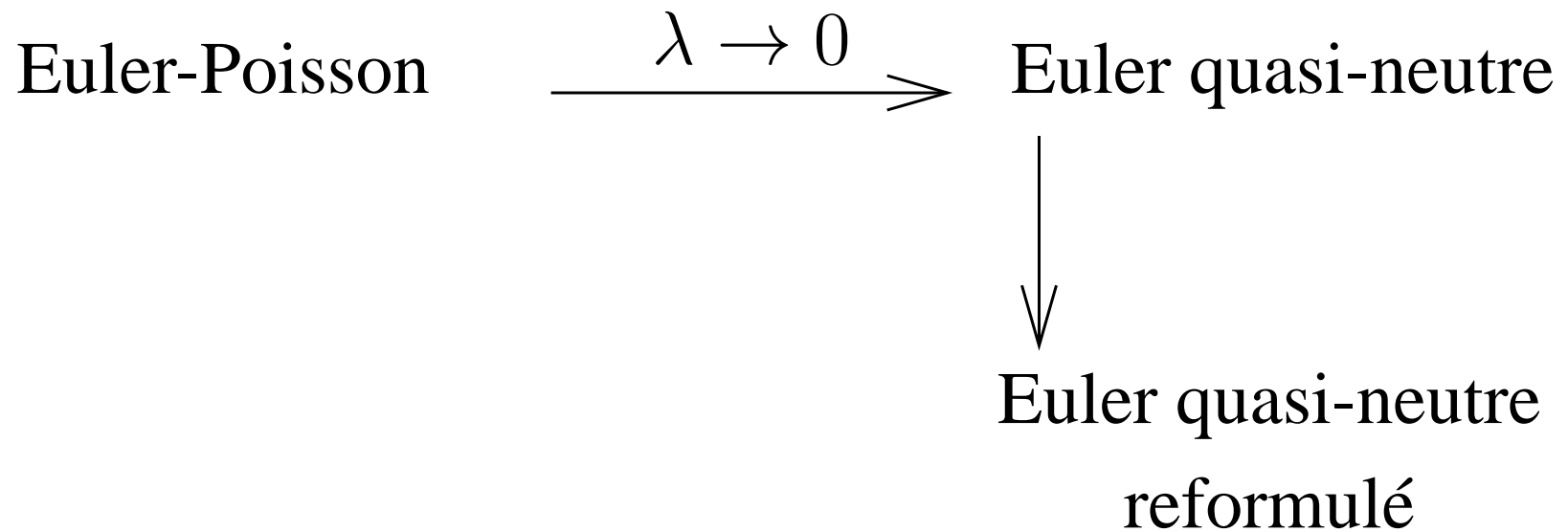
Conservations de la charge et de la qté de mvt totale

$$\begin{cases} \partial_t(n_i - n_e) + \partial_x(q_i - q_e) = 0, \\ \partial_t(q_i - q_e) + \partial_x(f_i - f_e) = - \left(n_i + \frac{n_e}{\varepsilon} \right) \partial_x \phi, \end{cases}$$

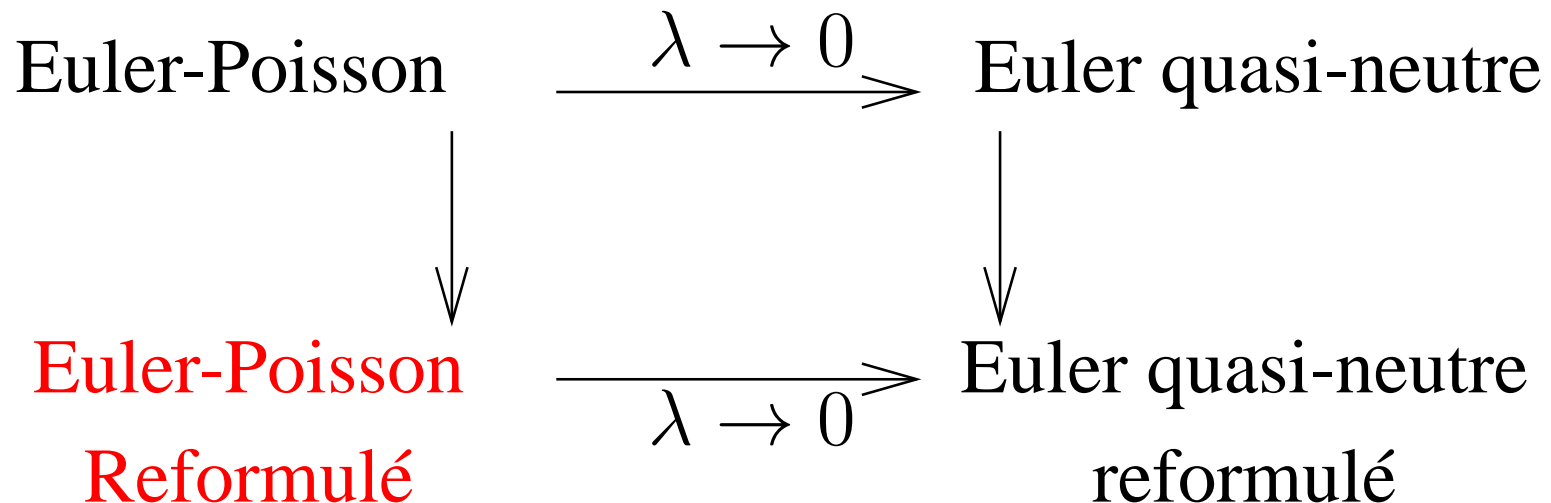
$$\left. \begin{array}{l} \text{Quasi-neutralité} \\ n_i = n_e \end{array} \right\} \Rightarrow -\partial_x \left(\left(n_i + \frac{n_e}{\varepsilon} \right) \partial_x \phi \right) = \partial_{xx}^2 (f_i - f_e),$$

Equation elliptique pour le potentiel

➤ Résumé



- ▣▣▣▣ OÙ se cache la singularité en $\tau = \sqrt{\varepsilon}\lambda$?
- ▣▣▣▣ Est-il possible de compléter le diagramme ?



⇒ Mêmes manipulations sur Euler-Poisson ⇒ Poisson reformulé

$$\lambda^2 \varepsilon \partial_{tt}^2 (-\partial_{xx}^2 \phi) - \partial_x \left(\left(n_i + \frac{n_e}{\varepsilon} \right) \partial_x \phi \right) = \partial_{xx}^2 (f_i - f_e),$$

⇒ **Eq. du pendule** sur la charge $\rho = n_i - n_e = -\partial_{xx}^2 \phi$

⇒ Schéma explicite ⇒ stabilité **conditionnelle** $\Delta t \leq \sqrt{\varepsilon \lambda}$
S. Fabre [JCP92]

⇒ Schéma AP ⇒ stabilité **inconditionnelle** $\Delta t \leq \sqrt{\varepsilon \lambda}$
Crispel, Degond, MHV [JCP07]

⇒ Système hyperbolique ⇒ contrainte de C.F.L.

$$\partial_t U + \partial_x F(U) = 0,$$

C.F.L. : $\Delta t \leq \frac{\Delta x}{\mu(U)}$ avec $\mu(U)$ valeurs propres de $DF(U)$

⇒ Ici : $\mu_e(n_e, q_e) = q_e/n_e \pm \sqrt{p'_e(n_e)/\varepsilon}$

⇒ **Couche limite** ⇒ $\Delta x \leq \lambda \Rightarrow \Delta t \leq C \sqrt{\varepsilon} \lambda$

On retrouve la contrainte qu'on vient de lever

-
1. Introduction
 2. Applications physiques et nature de la limite étudiée
 3. Le modèle d'Euler Poisson et sa limite quasi-neutre
 4. Le problème de couche limite
 - 4.1. Conditions aux limites pour Euler-Poisson
 - 4.2. Etude de la couche limite
 - 4.3. Résultats numériques
 5. Conclusion

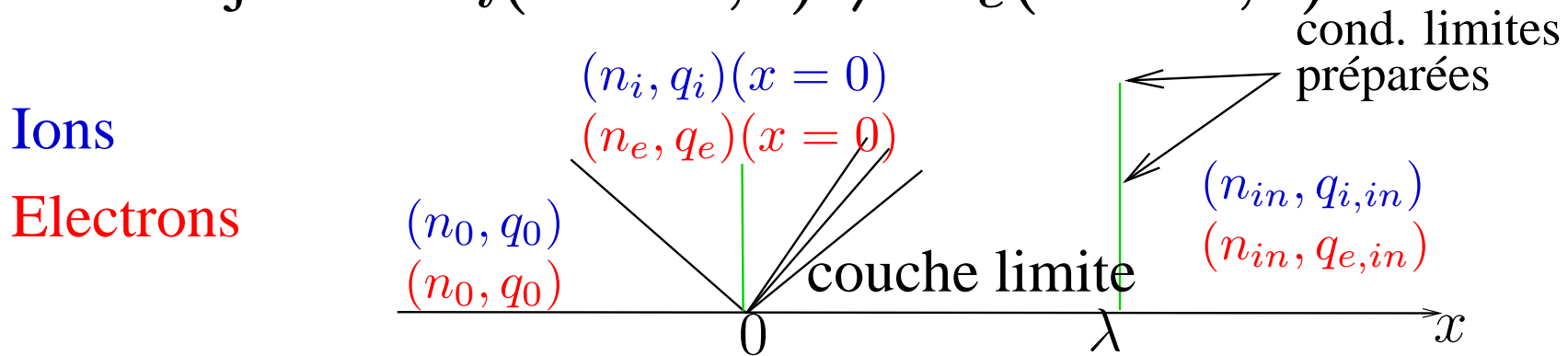
⇒ Euler pour les ions et les électrons, Poisson pour le potentiel

$$\begin{cases} \partial_t n_i + \partial_x q_i = 0, \\ \partial_t q_i + \partial_x \left[\frac{q_i^2}{n_i} + p_i \right] = -n_i \partial_x \phi, \end{cases} \quad \begin{cases} \partial_t n_e + \partial_x q_e = 0, \\ \partial_t q_e + \partial_x \left[\frac{q_e^2}{n_e} + \frac{p_e}{\varepsilon} \right] = \frac{n_e}{\varepsilon} \partial_x \phi \end{cases}$$

$$-\lambda^2 \partial_{xx}^2 \phi = n_i - n_e,$$

- Plasma interne : équilibre électrique (quasi-neutre) $\lambda \rightarrow 0 \Rightarrow n_i = n_e$

- Plasma injecté : $n_i(x=0, t) \neq n_e(x=0, t)$

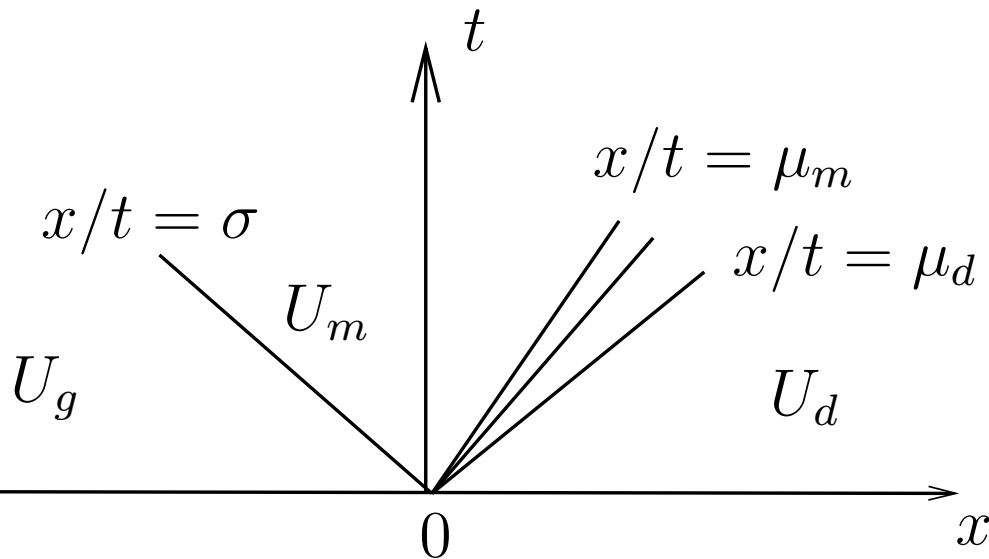


But : Déterminer des cond. aux lim. bien préparées à l'équilibre

⇒ Solution de $\partial_t U + DF(U) \partial_x U = 0$,

$$U(t=0) = \begin{cases} U_g & \text{si } x < 0 \\ U_d & \text{si } x > 0 \end{cases}$$

⇒ U est auto-similaire $U = U(x/t)$.



⇒ Deux valeurs propres
 $\mu^\pm = q/n \pm \sqrt{p'(n)/\varepsilon}$

⇒ Ici U_g est subsonique

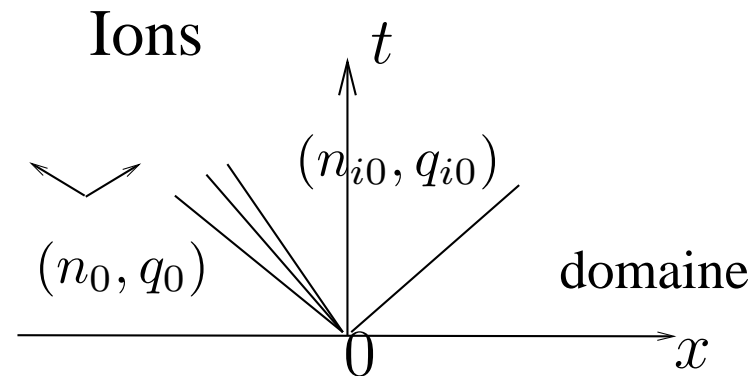
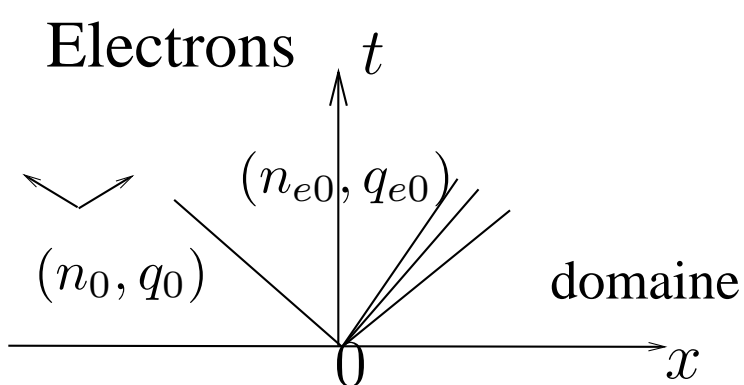
⇒ Euler pour les ions et les électrons, Poisson pour le potentiel

$$\begin{cases} \partial_t n_i + \partial_x q_i = 0, \\ \partial_t q_i + \partial_x \left[\frac{q_i^2}{n_i} + p_i \right] = -n_i \partial_x \phi, \end{cases} \quad \begin{cases} \partial_t n_e + \partial_x q_e = 0, \\ \partial_t q_e + \partial_x \left[\frac{q_e^2}{n_e} + \frac{p_e}{\varepsilon} \right] = \frac{n_e}{\varepsilon} \partial_x \phi \end{cases}$$

$$-\lambda^2 \partial_{xx}^2 \phi = n_i - n_e,$$

⇒ En $x = 0$:

$$\phi = 0, \quad (n_i, q_i) = (n_{i0}, q_{i0}), \quad (n_e, q_e) = (n_{e0}, q_{e0}).$$



-
1. Introduction
 2. Applications physiques et nature de la limite étudiée
 3. Le modèle d'Euler Poisson et sa limite quasi-neutre
 4. Le problème de couche limite
 - 4.1. Conditions aux limites pour Euler-Poisson
 - 4.2. Etude de la couche limite
 - 4.3. Résultats numériques
 5. Conclusion

- **Zoom** sur la couche limite : $y = x/\lambda$

Développement asymptotique de la couche limite : pour $f = n_{i,e}, u_{i,e}, \phi$

$$f^\lambda(x, t) = \bar{f}(x, t) + \tilde{f}(x/\lambda, t) + \lambda \hat{f}^\lambda(x, t)$$

$\Rightarrow \bar{f}$ état quasi-neutre et syst. diff. sur $f(y, t) = \bar{f}(0, t) + \tilde{f}(y, t)$

$$\partial_y q_i = \partial_y q_e = 0, \quad -\partial_{yy}^2 \tilde{\phi} = n_i - n_e,$$

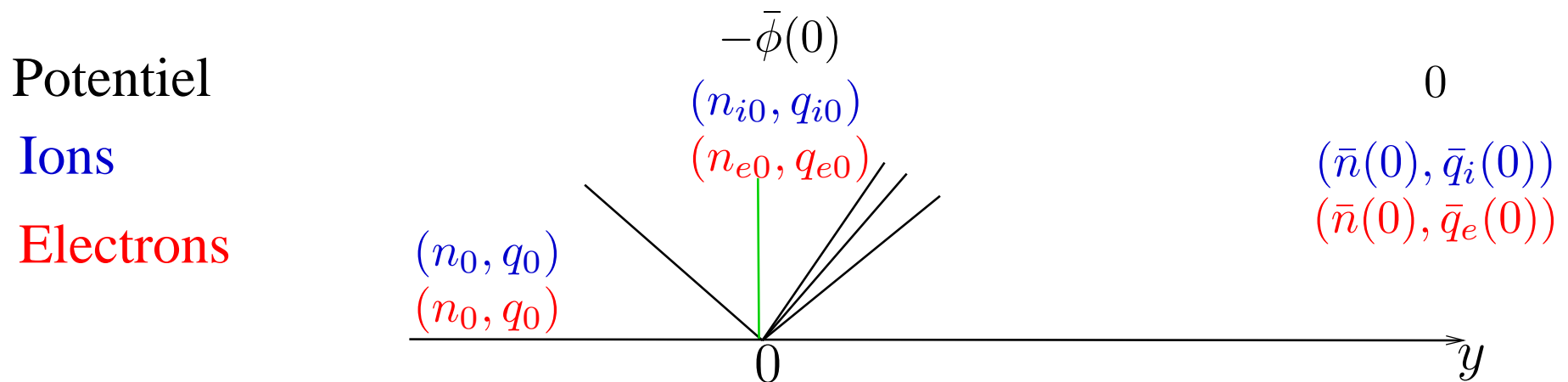
$$\partial_y \left(\frac{\varepsilon q_e^2}{n_e} + p_e(n_e) \right) = n_e \partial_y \tilde{\phi}, \quad \partial_y \left(\frac{q_i^2}{n_i} + p_i(n_i) \right) = -n_i \partial_y \tilde{\phi},$$

pour tout $y > 0$ et tout $t > 0$.

Conditions aux limites du système différentiel

➡ En $y = 0$: $f^\lambda(0, t) = \bar{f}(0, t) + \tilde{f}(0, t) + \lambda \hat{f}^\lambda(0, t)$

➡ En $y = \infty$: Cvgence vers la sol. quasi-neutre $\tilde{f}(+\infty, t) = 0$



➡ On cherche $\bar{n}(0), \bar{q}_e(0), \bar{q}_i(0), \bar{\phi}(0)$ connaissant n_0, q_0

➡ **Originalité** : On ne connaît pas n_{i0}, q_{i0}, q_{e0}

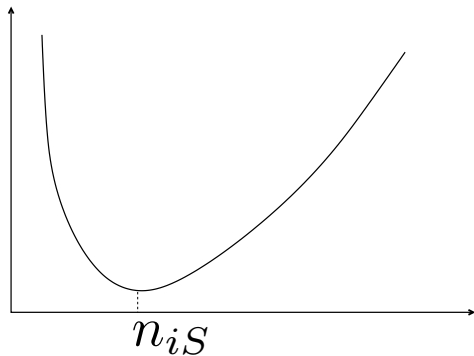
▣ Idée pour des solutions régulières

$$\partial_y q_i = 0, \quad \text{et} \quad \partial_y \left(\frac{q_i^2}{n_i} + p_i(n_i) \right) = -n_i \partial_y \tilde{\phi}$$

⇓

$$q_i = \text{cste} = q_{i0}, \quad \text{et} \quad \underbrace{\left(-\frac{q_{i0}^2}{n_i^3} + \frac{p'_i(n_i)}{n_i} \right)}_{k'_i(n_i)} \partial_y n_i = -\partial_y \tilde{\phi}$$

$k'_i(n_i) = \text{enthalpie totale}$



▣ On part de l' ∞ , si $\bar{n}_0 > n_{iS}$

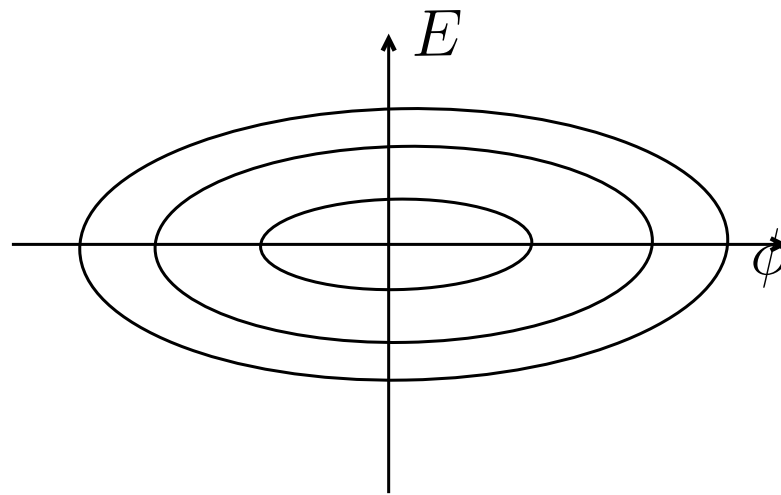
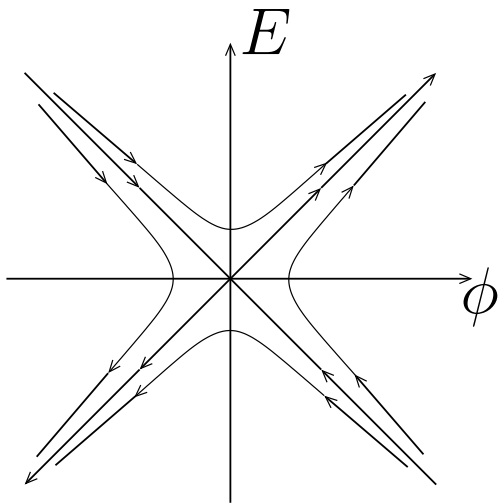
$$n_i(y) = k_{i,+}^{-1}(-\phi(y) + k_i(\bar{n}_0)) = n_i[\phi],$$

▣ $n_i[\phi]$ décroissante

➡ On reporte dans Poisson : $\partial_y \phi = E$,

$$\partial_y E = n_e[\phi] - n_i[\phi], \text{ décroît.}$$

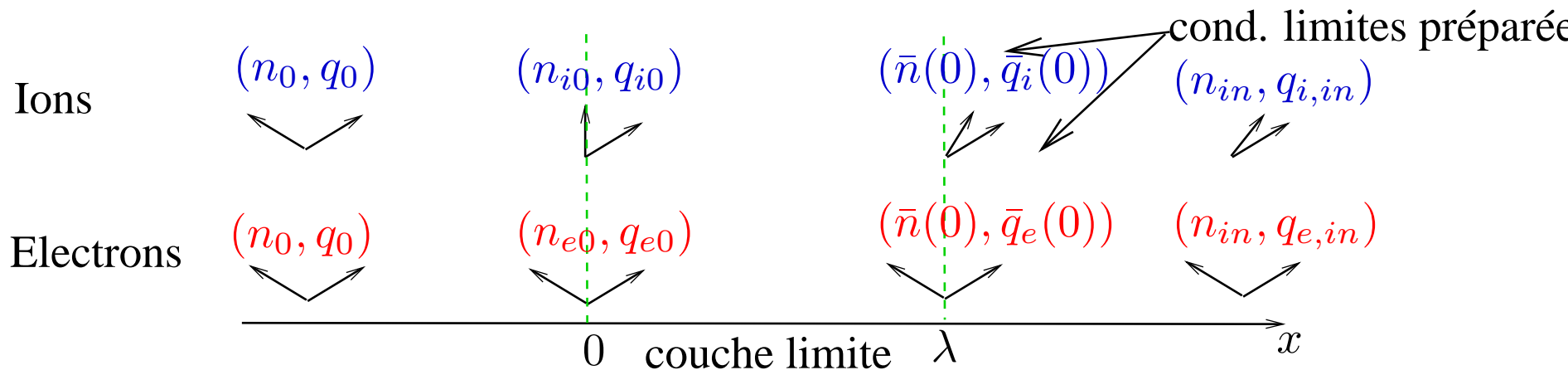
$(\phi, E) = (0, 0)$ est un pt d'équilibre hyperbolique ou elliptique.



➡ Plusieurs raccords possibles avec les valeurs en $x = 0$

➡ Une seule admet des profils décroissants de densités

➤ Résolution du système différentiel



➤ **Critère de Bohm** : Les ions en sortie de gaine sont supersoniques

➤ Approximation : $\varepsilon = 0 \Rightarrow \bar{n}(0)$ explicite

-
1. Introduction
 2. Applications physiques et nature de la limite étudiée
 3. Le modèle d'Euler Poisson et sa limite quasi-neutre
 4. Le problème de couche limite
 - 4.1. Conditions aux limites pour Euler-Poisson
 - 4.2. Etude de la couche limite
 - 4.3. Résultats numériques**
 5. Conclusion

⇒ Au départ, domaine vide de plasma

⇒ Conditions aux limites en $x = 0$, la cathode

$$n_i|_{x<0} = n_e|_{x<0} = 1 \quad q_i|_{x<0} = q_e|_{x<0} = 1 \quad \phi|_{x=0} = 0$$

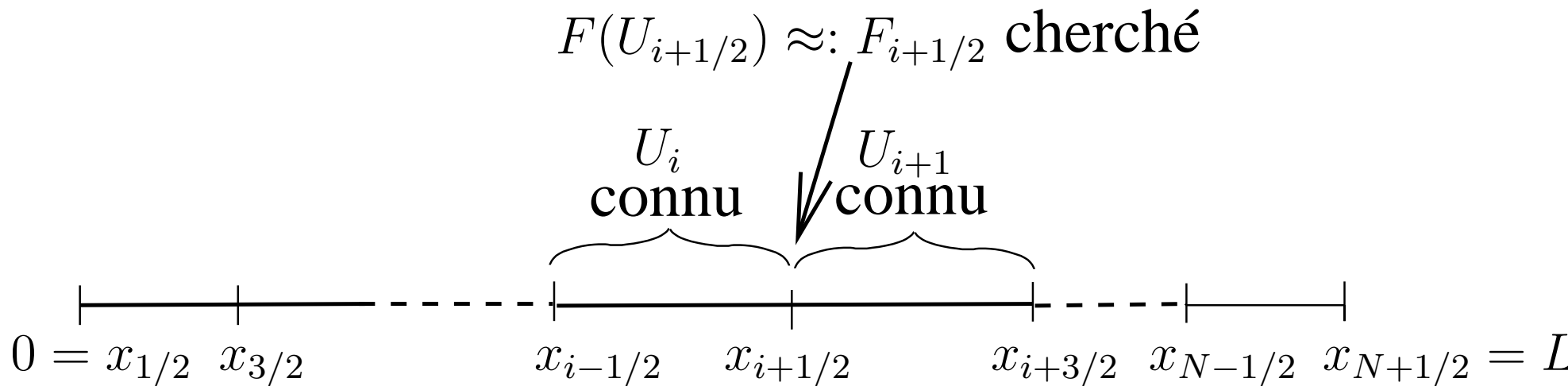
⇒ D.D.P appliquée

$$\phi|_{x=1} = 100$$

⇒ Paramètres

$$\varepsilon = 10^{-4}, \quad \lambda = 10^{-4}, \quad \tau = 10^{-6}.$$

$$\Rightarrow \partial_t U + \partial_x F(U) = S(n, \phi)$$

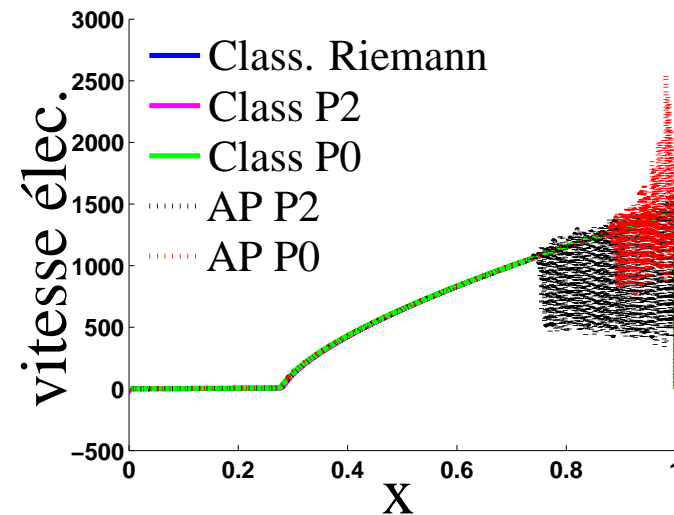
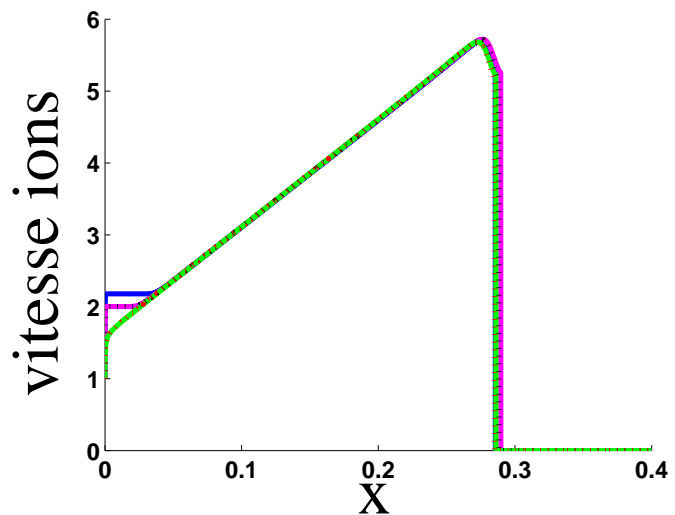
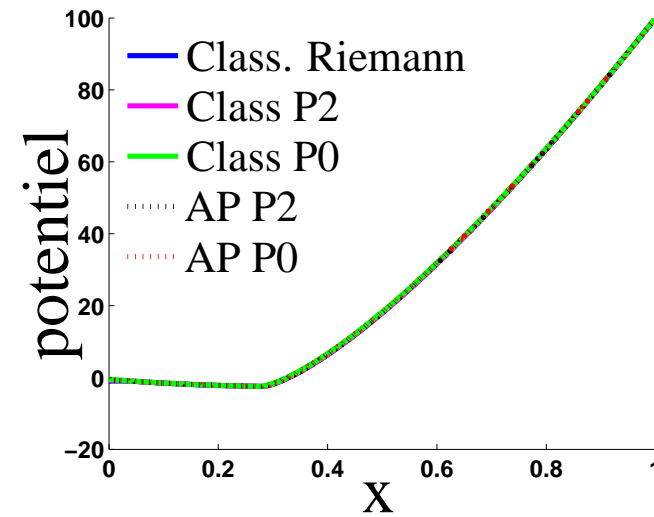
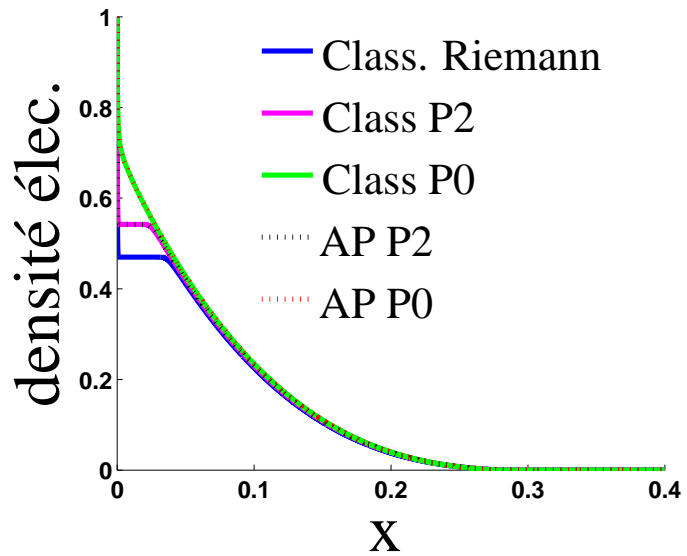


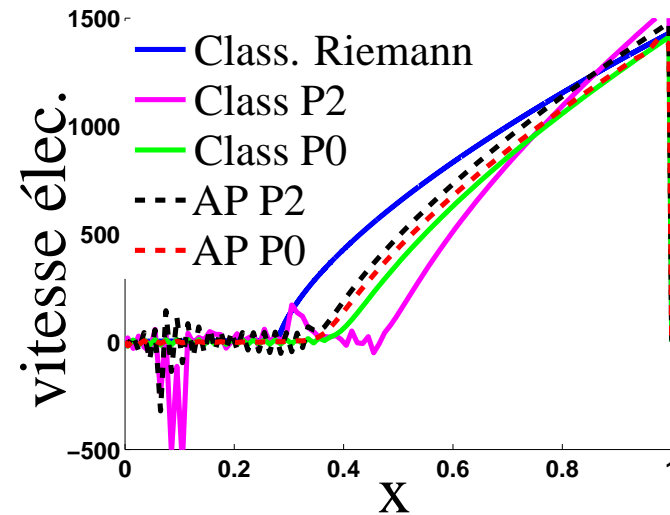
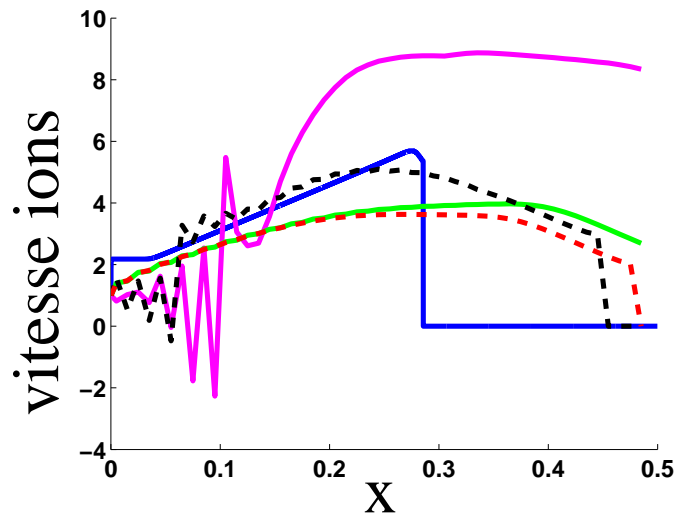
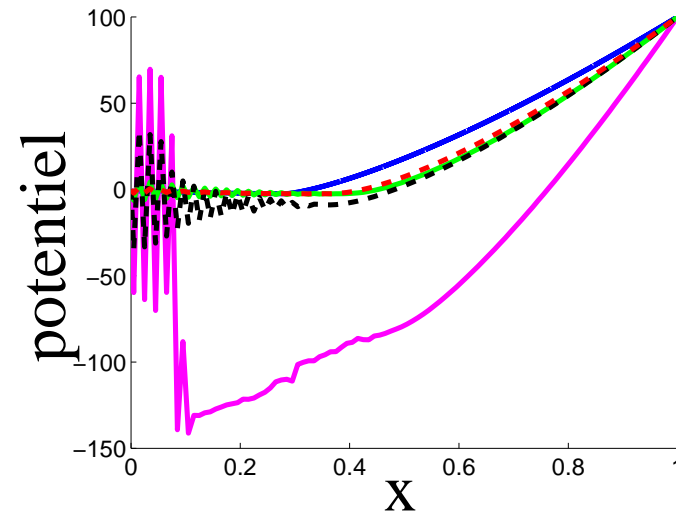
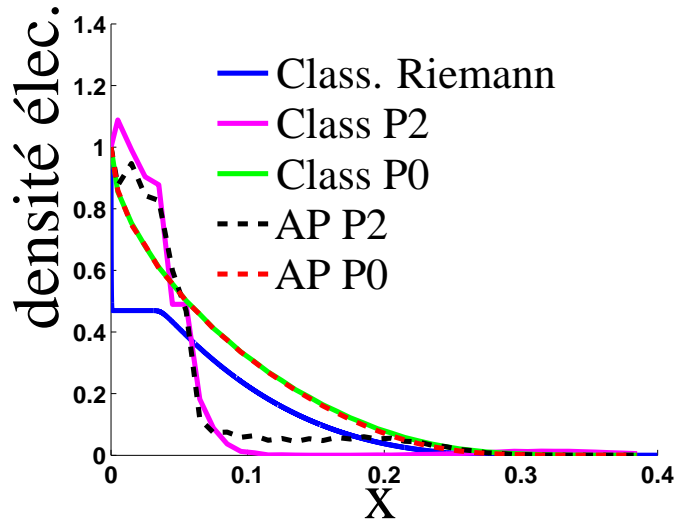
\Rightarrow Flux numérique

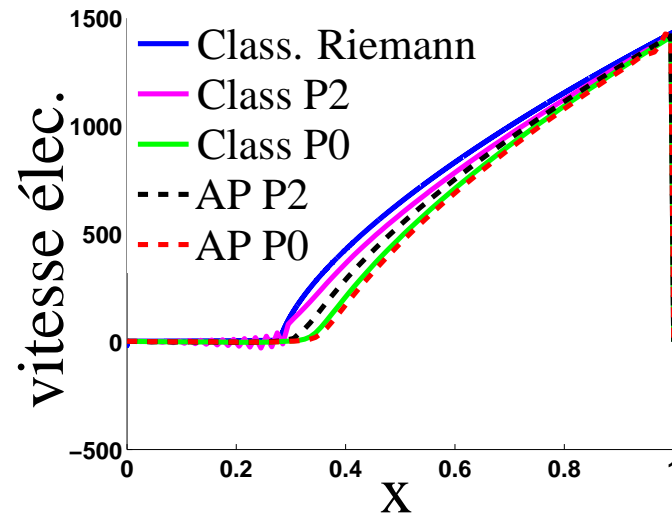
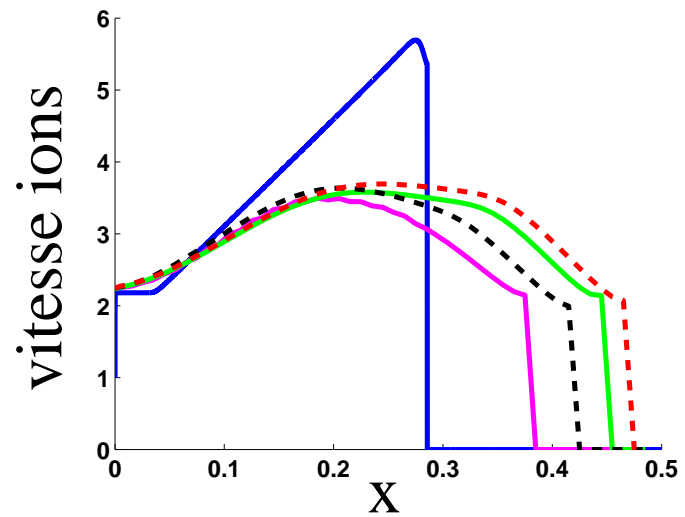
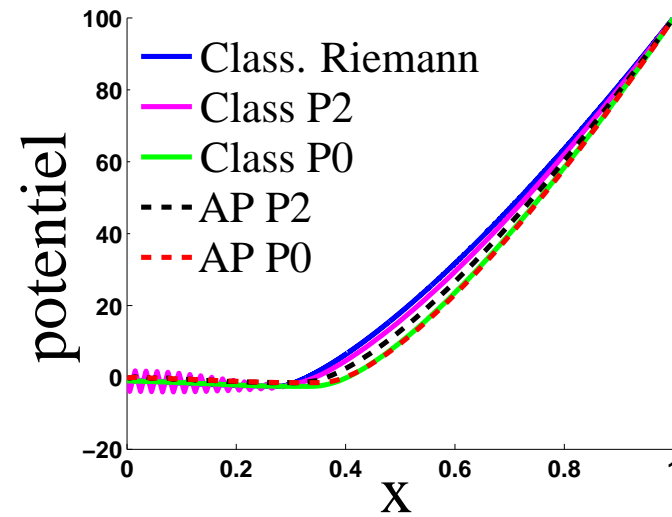
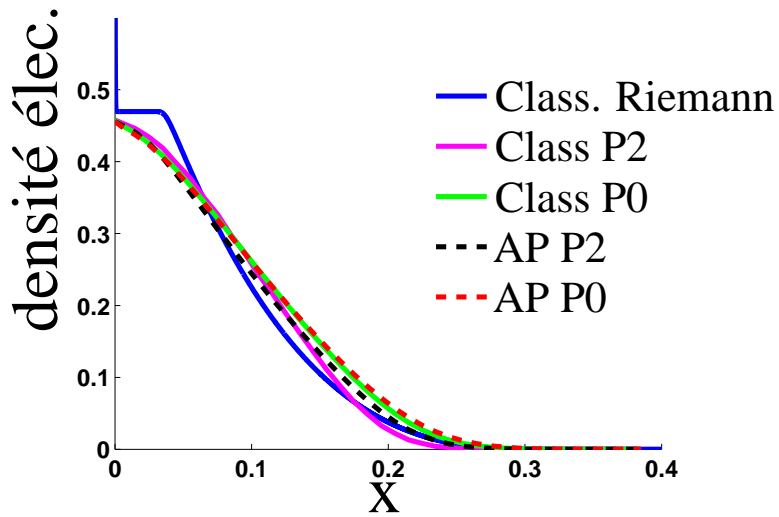
$$F_{i+1/2} = \underbrace{\frac{F(U_i) + F(U_{i+1})}{2}}_{\text{flux centré}} + \underbrace{M(U_i, U_{i+1})}_{\text{matrice de viscosité}} (U_i - U_{i+1})$$

- ⇒ Solveurs de type Roe à **matrice de viscosité diagonale**
 - ⇒ Lax Friedrichs modifié, Ruzanov,
 - ⇒ polynomial de degré 0 (P0) (Degond, Peyrard, Villedieu)

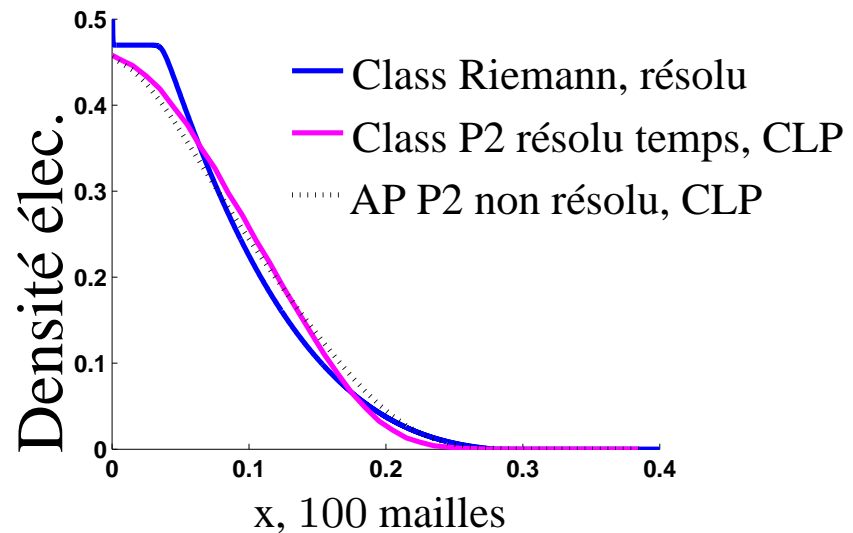
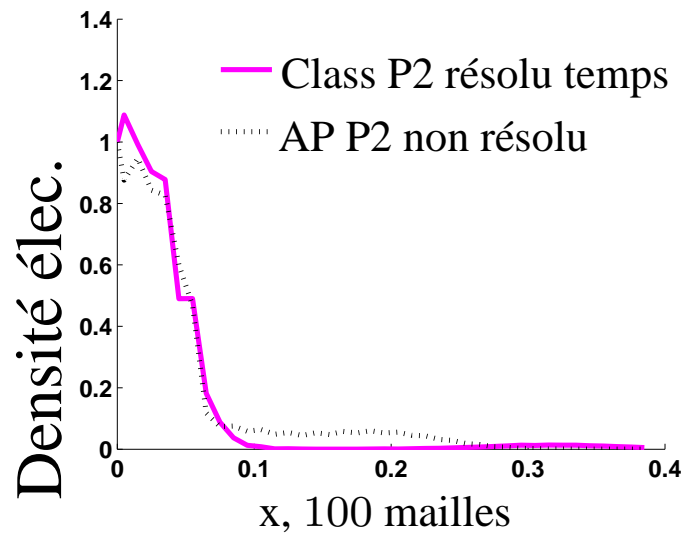
- ⇒ Solveurs généraux à **matrice de viscosité non diagonale**
 - ⇒ Roe, HLLE, HLLC, polynomial de degré 2, ...







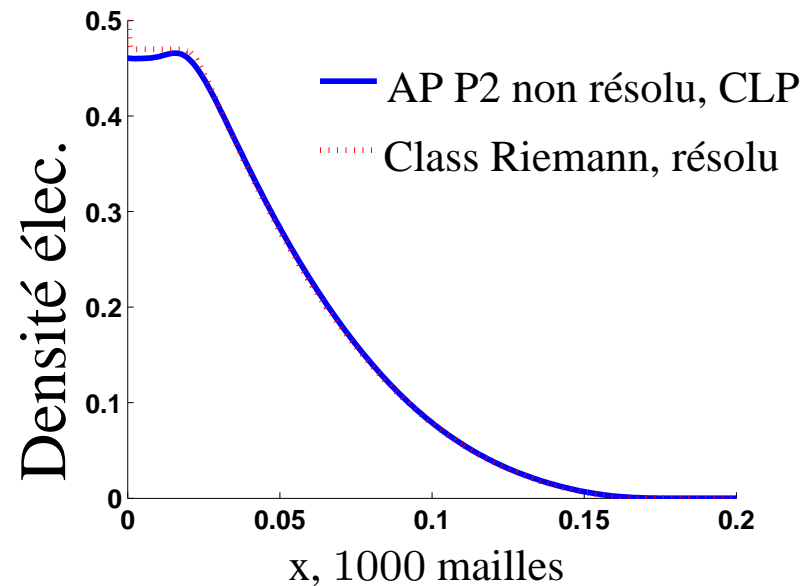
-
1. Introduction
 2. Applications physiques et nature de la limite étudiée
 3. Le modèle d'Euler Poisson et sa limite quasi-neutre
 4. Le problème de couche limite
 - 4.1. Conditions aux limites pour Euler-Poisson
 - 4.2. Etude de la couche limite
 - 4.3. Résultats numériques
 5. Conclusion



▀▀▀ Les conditions aux limites préparées stabilisent les solveurs généraux

▀▀▀ Erreur $< 20\%$, due à une résolution approchée

- ➡ Régime transitoire non quasi-neutre et manque de précision



- ➡ Pourquoi les solveurs à matrice de viscosité diagonale restent stables sans résoudre la couche limite

- ➡ Un schéma AP pour la couche limite ?